

บทที่ 1

บทนำ

1.1 บทนำด้านเรื่อง

ระเบียบวิธีศักยไฟฟ้าในตัวเอง (Self-Potential or Spontaneous Polarization Method) หรือเอสพี (SP) เป็นการวัดความต่างศักยไฟฟ้าที่เกิดขึ้นเองตามธรรมชาติระหว่าง 2 จุดใดๆ บนพื้นดิน มีการคิดค้นขึ้นมาเมื่อปี ค.ศ. 1830 โดย Robert Fox ซึ่งใช้ชั้วไฟฟ้าแบบแผ่นทองแดงต่อเข้ากับเครื่องวัดศักยไฟฟ้าแบบกัลวานومิเตอร์เพื่อสำรวจหาแหล่งสสารสมช่องแร่คoperชัลไฟฟ์ (copper sulphide) ได้พัฒนาในเมืองคอน沃尔 ประเทศอังกฤษ หลังจากนั้นหลักการนี้ถูกใช้เป็นเครื่องมือในการสำรวจที่ต้องใช้การสำรวจทางแร่โลหะ เพื่อกำหนดลักษณะรูปร่างและการวางตัวของแหล่งแร่ แต่อย่างไรก็ตามค่าผิดปกติของเอสพีที่ได้จากการสำรวจอาจมีได้ทั้งค่าที่เป็นบวกและลบ หรือเป็นชั้วคู่ หรืออาจจะมีลักษณะที่ซับซ้อน และนอกจากนี้ลักษณะธรณีวิทยาของพื้นที่ที่ทำการสำรวจก็มีอิทธิพลต่อค่าเอสพีด้วย (Howard, 1997)

ระเบียบวิธีเอสพีสามารถนำมาใช้ในการสำรวจแหล่งน้ำบาดาล แหล่งน้ำร้อน ตลอดจนถึงการใช้ในงานวิศวกรรม และการทำแผนที่ธรณีวิทยาด้วย ตัวอย่างเช่นการกำหนดตำแหน่งรอยเดือน (shear zones) และรอยเลื่อนระดับผิวดิน (near-surface faults) ทั้งนี้เนื่องจากเครื่องมือวัดค่าเอสพีมีราคาถูกและมีความสะดวกในการทำการสำรวจ

สัญญาณรบกวนของเอสพีมาจากหลายๆ แหล่งด้วยกัน เช่น สถานีจ่ายไฟฟ้า สายไฟฟ้า ท่อส่งที่เป็นโลหะฝังดินหรือถังที่ป้องกันการเกิดสนิมด้วยการทำให้เป็นชั้วลบ ท่อวางสายไฟ ท่อระบายน้ำ รั้วที่ปักลงดิน ปลอกบ่อเจาะ และวัสดุโลหะอื่นๆ ที่อยู่ในดิน ส่วนสัญญาณรบกวนตามธรรมชาติมาจากการแสลงลูริก ปัจจุบันมีการพัฒนาเครื่องมือให้มีตัวกรองสัญญาณความถี่ทางอินพุท (input filter) ที่ทันสมัยหรือโดยใช้ดิจิตอลโลห์มิเตอร์ที่มีอินพุทคอมพิเดนซ์สูงๆ การสำรวจเอสพีจึงสามารถทำได้ในพื้นที่มีสัญญาณรบกวนข้างต้นได้

การใช้ระเบียบวิธีเอสพี เพื่อตรวจหาความผิดปกติในโครงสร้างขั้นดินของพื้นที่ขนาดใหญ่ เช่น การร่วงของเขื่อนหรือแหล่งฝังกับขยะ ใน การสำรวจจะต้องทำการวัดค่าที่หลากหลาย จุดโดยการเลื่อนตำแหน่งชั้วไฟฟ้าไปตลอดพื้นที่โดยอาศัยการอ้างอิงกับตำแหน่งที่อยู่นอกพื้นที่การสำรวจ หรืออีกกรณีหนึ่งสามารถใช้การวัดแบบอาศัยการอ้างอิงกับตำแหน่งที่อยู่ก่อนหน้าตำแหน่งที่กำลังวัดก็ได้ แต่อย่างไรก็ตามจะเห็นว่าทั้งสองวิธีต้องอาศัยการเลื่อนตำแหน่งของชั้วไฟฟ้า ซึ่งถ้าหาก

เป็นการสำรวจแบบผู้เชี่ยวชาญตามการเปลี่ยนแปลงของโครงสร้างที่ต้องวัดซ้ำที่ทุกๆ ตำแหน่งตลอดเวลาจะทำให้ไม่สะดวกและใช้เวลามาก

ในปัจจุบันจึงมีความพยายามคิดค้นและพัฒนาเครื่องมือขึ้นมาใช้ในลักษณะการสำรวจแบบสลับสายสัญญาณแทนการเลื่อนข้าวไฟฟ้า โดยทำการปักข้าวไฟฟ้าไว้คงที่ ณ ทุกๆ ตำแหน่งและเมื่อต้องการวัดค่าโครงสร้างที่ตำแหน่งใดก็จะเริ่มต่อสายสัญญาณกับข้าวไฟฟ้าที่ตำแหน่งนั้น โดยอาศัยการทำงานของวงจรทางอิเล็กทรอนิกส์ (ใช้สายสัญญาณเส้นเดียวสำหรับทุกๆ ข้าวไฟฟ้า) เครื่องมือลักษณะนี้ยังไม่มีการผลิตในประเทศไทย แต่สำหรับในต่างประเทศมีการคิดค้นและมีการใช้การสำรวจคล้ายๆ กับลักษณะเดียวกันนี้ ที่ใช้ในการสำรวจค่าสภาพด้านท่านไฟฟ้า เช่น ของบริษัท ABEM (ประเทศสวีเดน) ซึ่งพบว่าทำให้เกิดความสะดวกและประหยัดเวลาเป็นอย่างมาก

ปัจจุบันห้องปฏิบัติการธรณีฟิสิกส์ ภาควิชาฟิสิกส์ คณะวิทยาศาสตร์ มหาวิทยาลัยสงขลานครินทร์ มีเครื่องมือสำหรับงานสำรวจทางด้านโครงสร้าง และสภาพด้านท่านไฟฟ้า แต่ยังขาดระบบสลับสายสัญญาณ ทำให้ในการทำการสำรวจโครงสร้างแบบผู้เชี่ยวชาญ หรือการวัดค่าสภาพด้านท่านไฟฟ้าที่การจัดขบวนข้าวไฟฟ้าต้องเลื่อนข้าวไฟฟ้าข้าวตำแหน่งเดิมหลายครั้งใช้เวลาในการเก็บข้อมูลมาก การพัฒนาระบบในส่วนนี้ขึ้นมาทำหน้าที่เปลี่ยนข้าวไฟฟ้าที่ต่อเข้ากับสายนำสัญญาณ แทนการเลื่อนตำแหน่งข้าวไฟฟ้าด้วยคน จึงเป็นการเพิ่มขีดความสามารถในการสำรวจทางด้านธรณีฟิสิกส์ด้วยระบบอิเล็กทรอนิกส์ในอนาคตให้มากขึ้นอีกด้วย

1.2 ค่าผิดปกติของโครงสร้าง (SP Anomalies)

ระบบเบี่ยงเบี้ยนโครงสร้างที่จะเป็นการวัดความแตกต่างของศักย์ไฟฟ้าบนดินที่มีอยู่ตามธรรมชาติ ระหว่างจุดสองจุดใดๆ บนผิวดิน ค่าที่วัดได้จะอยู่ในระดับมิลลิโวลท์หรือมากกว่านั้นโวลท์ และค่าที่เป็นบวกหรือลบก็มีความสำคัญมากต่อการเปลี่ยนแปลงความข้อมูลความผิดปกติของโครงสร้าง ที่มาของโครงสร้างแสดงดังตาราง 1.1 ซึ่งมีอยู่สองชนิดคือ ศักย์ไฟฟ้าจากแร่หรือเรียกว่ามิเนอรัลโพเทนเชียล (mineral potential) และโครงสร้างที่เกิดขึ้นจากแหล่งอื่นๆ ที่ไม่ใช่เกิดจากแร่เรียกว่าเบ็คกราวด์โพเทนเชียล (background potential) โดยที่โครงสร้างจากแร่ส่วนใหญ่จะเป็นแร่ชัลไฟต์ เช่นไฟโรต์ คาลโคไฟโรต์ พิริโรไทร์ ไฟฟาร์ก ฯลฯ และภลินา นอกจากนี้ยังมีแร่แกรไฟต์ เมกานไทร์ หรือแร่ตัวนำไฟฟ้า ซึ่ง ตลอดจนถึงถ่านหิน แมงกานีส ลายแร่ควอตซ์ และพนังเพกมาไทต์ด้วย ส่วนเบ็คกราวด์โพเทนเชียลเกิดขึ้นจากการไหลของเหลว ปฏิกิริยาเคมี ไฟฟ้าชีวภาพ (กระบวนการออกซิเดชันของ

หญ้าหรือต้นไม้) การเคลื่อนที่ของน้ำใต้ดิน หรือแม้กระทั่งความแตกต่างกันของระดับความสูงของผิวดินก็ทำให้มีอิสพีแตกต่างกันด้วย

ตาราง 1.1 แหล่งกำเนิดอิสพี (ปรับปรุงจาก : Reynolds, 1997)

แหล่งกำเนิด	ลักษณะของความผิดปกติ
1. มีเนอร์ลโพเทนเรียล	
- แรชลไฟต์ (ไฟร์ต คอลโคไฟร์ต พิร์โรไฟต์ สฟ่าเลอไธ์ กานีนา)	{
- แกรไฟต์	{
- แมกนีไทต์และแร่ตัวนำไฟฟ้าอื่นๆ	{
- ถ่านหิน	{
- แมงกานีส	{
- สายแร่ควอตซ์	{
- เพกมาไทต์	{
2. เป็นการดีโพเทนเรียล	
- การไหลของของเหลว ปฏิกิริยาเคมี	เป็นบางหรือลบ ≤ 100 มิลลิโวลท์
- ศักย์ไฟฟ้าศีริภาพ	เป็นลบ ≤ 100 มิลลิโวลท์
- การเคลื่อนที่ของน้ำใต้ดิน	เป็นบางหรือเป็นลบ, ประมาณหลักร้อย มิลลิโวลท์
- ระดับความสูงของพื้นดิน	เป็นลบได้ถึง 2 โวลท์

1.3 กลไกการเกิดอิสพี

ในกรณีทั่วไป อิสพีเกิดขึ้นเนื่องจากการไหลของน้ำใต้ดิน โดยกระบวนการของสารละลายอิเล็กโทรไลต์ (electrolyte) ที่มาจากการละลายของแร่ต่างชนิดและต่างความเข้มข้น ชนิดของศักย์ไฟฟ้าแสดงในตาราง 1.2 ซึ่งความแตกต่างกันของค่าelectропроводностиในแต่ละจุดขึ้นอยู่กับค่าดielektrik (dielectric) และความเข้มข้นของสารละลายอิเล็กโทรไลต์ นอกจากนี้ยังเกี่ยวข้องกับการนำไฟฟ้าด้วยอิเล็กตรอน (electronic conduction) ของพื้นดิน การเคลื่อนที่ของไอออน ความหนืด อุณหภูมิและแรงดันที่กระทำต่อของสารละลายด้วย

ตาราง 1.2 ชนิดของศักย์ไฟฟ้า (ปรับปูรุจจาก : Reynolds, 1997)

อิเล็กโทรไคเดติกโพเทนเชียล (electrokinetic potential)	เปลี่ยนแปลงตามเวลา
- อิเล็กโทรฟิลเตอร์ชัน (electrofiltration)	
- อิเล็กโทรเมคานิคอล (electromechanical)	
- สตรีมมิงโพเทนเชียล (streaming potential)	
ดิฟฟิวชันโพเทนเชียล (diffusion potential)	อิเล็กโทรเคมีคอลโพเทนเชียล (electrochemical potential)
- ลิกวิดจังชัน (liquid junction)	
เนرنท์โพเทนเชียล (Nernst potential)	คงที่
- เชลโพเทนเชียล (shale potential)	
มินอรัลโพเทนเชียล (mineral potential)	

1.3.1 อิเล็กโทรไคเดติกโพเทนเชียล

อิเล็กโทรไคเดติกโพเทนเชียล เป็นผลของการไหลของสารละลายอิเล็กโทรไลต์ผ่านรูเล็กๆ หรือโพรงในตัวกลง ทำให้เกิดความต่างศักย์ไฟฟ้าได้ที่ปลายห้องด้านของตัวกลงนั้น (Ahmad, 1964) โดยเชื่อว่าศักย์ไฟฟ้าเกิดจากการสัมผัสกันของไอออนอิสระกับผนังของรูที่สารละลายไหลไปซึ่งอาจจะเรียกว่าอิเล็กโทรฟิลเตอร์ชัน (electrofiltration) หรืออิเล็กโทรเมคานิคอล และศักย์ไฟฟ้าที่เกิดขึ้นมีความสัมพันธ์กับความดันดังนี้

$$E_k = \frac{\epsilon \rho \zeta \delta P}{\eta} \quad (1)$$

ที่ E_k เป็นเกรเดียนท์ของศักย์ไฟฟ้า (Vm^{-1}) ที่เกิดขึ้น ส่วน ϵ , ρ และ η คือค่าคงที่โดยอิเล็กทริก (Fm^{-1}) สภาพด้านท่านไฟฟ้า (Ωm) และค่าความหนืด ($Pa s$) ตามลำดับ และสำหรับ δP คือค่าความแตกต่างความดัน (Pam^{-1}) ระหว่าง 2 บริเวณนั้น ส่วน ζ คือสตรีมมิงโพเทนเชียล (V)

จากกฎของ Helmholtz ที่กล่าวไว้ว่าเกรเดียนท์ของศักย์ไฟฟ้ามีความสัมพันธ์กับความแตกต่างความดันและปริมาณของตัวกลง นั้นก็คือ

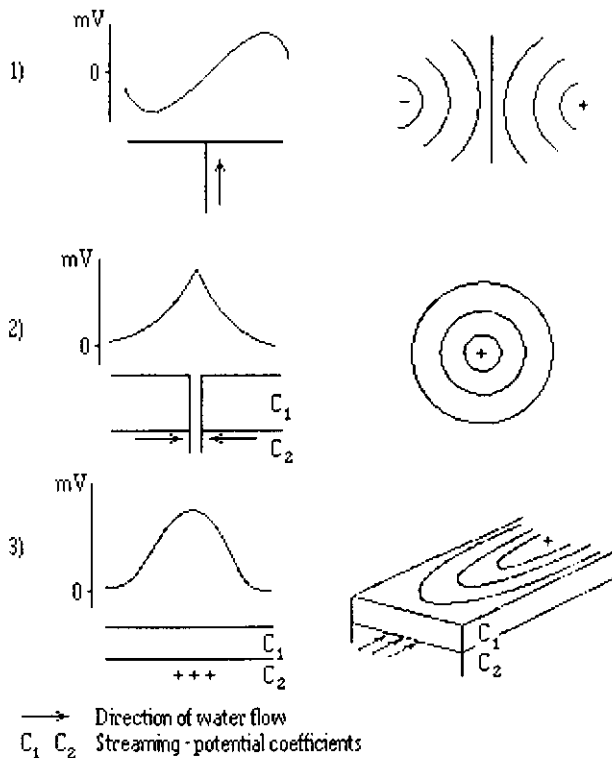
$$E_k = C_F \delta P \quad (2)$$

โดยเรียก C_E ว่าค่าคงตัวอิเล็กโทรฟิลเตอร์ชันหรือค่าคงตัวสตรีมมิงโพเทนเชียล (electrofiltration coupling or streaming potential coefficient) ซึ่งขึ้นอยู่กับสมบัติทางพิสิกส์และสมบัติทางไฟฟ้าของสารละลายนิ่งและโครงสร้างการผ่านเป็นเครื่องข่ายของตัวกลางที่สารละลายนิ่งอิเล็กโทรไลต์และโครงสร้างการผ่านเป็นเครื่องข่ายของตัวกลางที่สารละลายนิ่งอิเล็กโทรไลต์นั้นในลักษณะนี้

$$(1) \quad C_E = \frac{\epsilon \rho \zeta}{\eta}$$

ตัวอย่างของอิเล็กโทรไครโนเมติกโพเทนเชียลที่ขัดเจนคือ การไหลของน้ำขานานกับตัวกลาง 2 ชนิดที่เป็นตัวกำหนดขอบเขต หรือในลักษณะปั้นพื้นที่ว่าง เช่น การไหลจากพื้นที่รับน้ำมายังระดับน้ำได้ดินในรั้นดินคุ้มน้ำของน้ำบาดาล กราฟของอิเล็กโทรไครโนเมติกโพเทนเชียลในพื้นที่ธรณีวิทยาที่มีค่า C_E แตกต่างกันแสดงในภาพประกอบ 1.1 ก

ภาพประกอบ 1.1 ก ลักษณะของค่าผิดปกติจากอิเล็กโทรไครโนเมติกโพเทนเชียลในธรณีวิทยาแบบต่างๆ 1) น้ำไหลในทิศทางขึ้นด้านบน 2) การสูบน้ำบาดาลขึ้นมาจากขั้นหินอ่อน 3) น้ำไหลในแนวอน (ที่มา : Schiavone and Quarto, 1984)

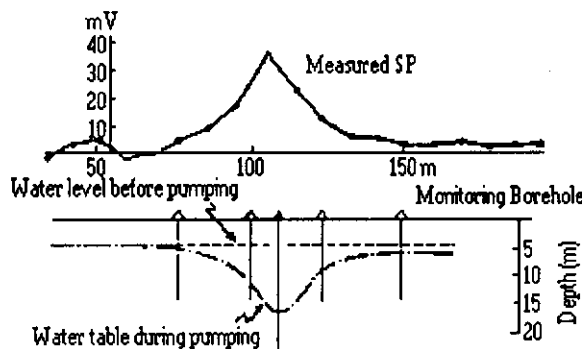


ศักย์ไฟฟ้ามีแนวโน้มเป็นวงมากขึ้นในทิศทางเดียวกับการไหลของน้ำแต่ประจุไฟฟ้าจะไหลในทิศทางตรงกันข้าม ดังนั้นจึงสามารถทำให้สรุปได้ว่าประจุลบจะมีค่ามากขึ้นเมื่อระดับภูมิประเทศสูงขึ้น (เพราะปกติน้ำในลักษณะที่สูงลงสูงที่ต่ำ จึงทำให้ที่ยอดภูเขามีศักย์ไฟฟ้าต่ำกว่าที่ฐาน) ตามตัว

อย่างที่มีรายงานการวิจัยของ Gay (1967) ซึ่งได้รายงานการวัดค่าของเอสพีที่ยอดเข้าแห่งหนึ่งใกล้เมือง Huallgayac ประเทศเปรูได้ค่าเท่ากับ $-1,842$ มิลลิโวลท์ แต่เนื่องจากพื้นที่นั้นเป็นแหล่งแร่ธาตุในด้วย ค่าเอสพีที่วัดได้อาจมีผลมาจากมิเนอรัลไฟฟ์ที่ไม่ทราบแน่ชัด Nayak (1981) ได้ทำการวัดค่าศักย์ไฟฟ้านานาประเทศเป็นหินควอตไซด์ในเมืองชิลลง (Shillong) ประเทศอินเดียและได้ค่าต่ำถึง $-1,940$ มิลลิโวลท์ซึ่งสอดคล้องกับ Corwin and Hoover (1979) ที่รายงานค่าศักย์ไฟฟ้านานยอดสูงสุดของภูเขาไฟอะดากดาค (Adagdak) เกาะอะดาค (Adak) มลรัฐอลาสกาได้เท่ากับ $-2,693$ มิลลิโวลท์ จึงสามารถสรุปได้ว่าค่าเอสพีจะลดต่ำลงเมื่อค่าความสูงของพื้นที่มากขึ้น

ในพื้นที่ลาดชันที่น้ำผิวน้ำใต้ดินไหลได้จะทำให้ค่าศักย์ไฟฟ้าในบริเวณเดิมเปลี่ยนไปได้ เช่น กัน เช่น กรณีฝันตอกหนัก (Fournier, 1989) นั่นคือการเปลี่ยนแปลงของความชื้นในดินก็ทำให้ศักย์ไฟฟ้าเปลี่ยนแปลงไปด้วย (Corwin and Hoover, 1979) ดังนั้นข้าไฟฟ้าที่บ่อกลางในดินที่เปียกมากกว่า จะมีค่าเอสพีมากกว่า (Poldini, 1939) นอกจากนี้ศักย์ไฟฟ้าสามารถเกิดขึ้นได้จากการสูบน้ำ นาดาลขึ้นมาโดยมีค่าน้ำดื่มน้ำมีผลลัพธ์มิลลิโวลท์ (Semenov, 1980) ความแตกต่างของแรงดันน้ำที่ในบ่อกลางขึ้นดินอุ่มน้ำเพื่อมายังบ่ออาจที่ถูกสูบน้ำออกไปก็จะให้ค่าเอสพีเป็นบวกด้วยดังภาพประกอบ 1.1ฯ

ภาพประกอบ 1.1ฯ ค่าผิดปกติของเอสพีในพื้นที่มีการสูบน้ำนาดาลจากบ่อ (ที่มา : Semenov, 1980)



1.3.2 อิเล็กโทรเคมีคอลไฟฟ์ที่น้ำ (Electrochemical potential)

ศักย์ไฟฟ้านานิดนินที่มีผลมาจากการแพร่ของสารละลายน้ำอิเล็กโทรไลต์ เรียกว่าลิคิวิดจังชันไฟฟ์ที่น้ำ (liquid-junction potential) จะมีค่าอยู่ในระดับหลักสิบมิลลิโวลท์ ซึ่งเกิดขึ้นจากการเคลื่อนที่ของสารละลายน้ำอิเล็กโทรไลต์ที่มีความเข้มข้นต่างกันในน้ำนาดาล แต่เมื่อเวลาผ่านไปศักย์ไฟฟ้าจะมีความแตกต่างน้อยลงอันเนื่องมาจากการแพร่ของสารละลายน้ำอิเล็กโทรไลต์จากบริเวณที่

มีความเข้มข้นสูงมายังความเข้มข้นต่ำ ศักย์ไฟฟ้าที่เกิดขึ้นมีความสัมพันธ์กับความแตกต่างของความเข้มข้นของสารละลายน้ำ (E_d) ดังสมการ (3)

$$E_d = -\frac{RT(I_a - I_c)}{nF(I_a - I_c)} \ln\left(\frac{C_1}{C_2}\right) \quad (3)$$

ที่ I_a และ I_c คืออัตราเร็วของแอนิโอน (Anions, +ve) และแคตไอโอน (Cations, -ve) มีหน่วยเป็นเมตรต่อวินาที (ms^{-1}) ส่วน R คือค่าคงที่ของแก๊สซึ่งมีค่าเท่ากับ $9.314 \text{ } \mu\text{J}\text{mol}^{-1}\text{K}^{-1}$ สำหรับ T คืออุณหภูมิสัมบูรณ์มีหน่วยเคลวิน (K) ส่วน n คือจำนวนไอโอนที่มีการเคลื่อนที่ F คือค่าคงที่ของฟาราเดียมีค่าเท่ากับ $96,487 \text{ } \mu\text{C}\text{mol}^{-1}$ และ C_1 กับ C_2 คือความเข้มข้นของสารละลายอิเล็กโทรไลต์มีหน่วยเป็นโมลาร์ (Molar)

เนรนท์โพเทนเชียล (Nernst potential : E_N) เป็นกรณีพิเศษของลิคิวิดจังหวันโพเทนเชียล และเป็นกรณีที่ง่ายที่สุดของอิเล็กโทรเคมีคอลโพเทนเชียล เกิดขึ้นเนื่องจากความต่างศักย์ในสารละลายชนิดเดียวกันและมีความต่อเนื่องกันตลอดแต่มีความเข้มข้นของสารละลายอิเล็กโทรไลต์ที่ต่างกัน เท่านั้น จากสมการที่ (3) จะได้ดังนี้

$$E_N = -\frac{RT}{nF} \ln\left(\frac{C_1}{C_2}\right) \quad (4)$$

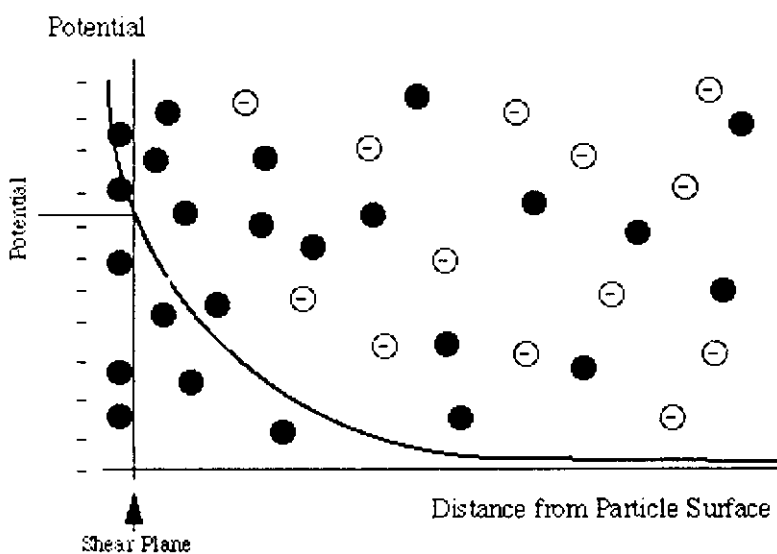
จากสมการ (4) ที่ 25 องศาเซลเซียสสารละลายเกลือแร่ (NaCl) ที่มีอัตราส่วนความเข้มข้นที่ 5:1 จะได้เนรนท์โพเทนเชียลประมาณ 50 มิลลิโวลท์

เนรนท์โพเทนเชียลมีความสำคัญอย่างมากในการสำรวจธรณีฟิสิกส์ในหลุมเจาะ (logging) หรือเรียกว่าชেลโพเทนเชียล (shale potential) ซึ่งจะมีความสัมพันธ์โดยตรงกับความแตกต่างความเข้มข้นของเกลือแร่จากการรุกรานด้วยน้ำทະ雷เข้ามาในชั้นน้ำบาดาล น้ำร้อนของ Corwin and Hoover (1979) และกรณีของการเกิดเอกสารจากความแตกต่างความเข้มข้นของเกลือแร่จากการรุกรานด้วยน้ำทະ雷เข้ามาในชั้นน้ำบาดาล

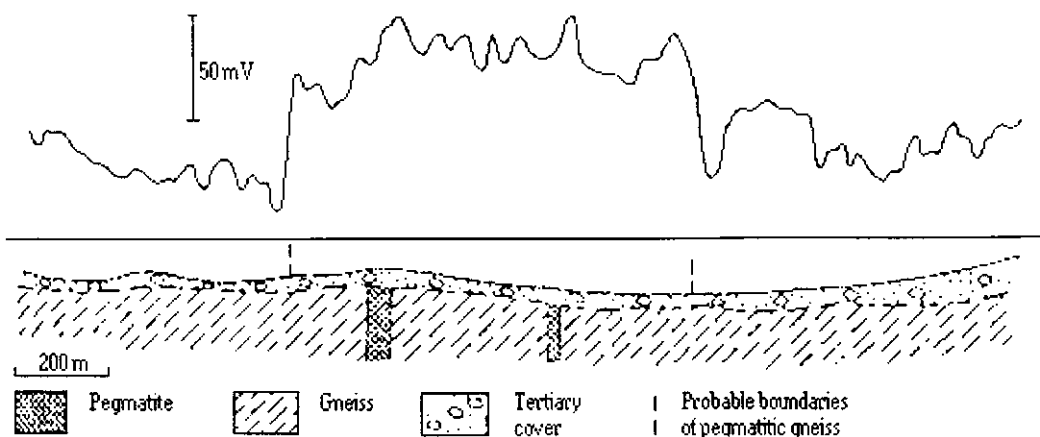
นอกจากนี้ยังมีกรณีของอิเล็กโทรเคมีคอลโพเทนเชียลในรูปแบบที่มีการจับแอนิโอนที่บริเวณผิวของสายแร่ควอตซ์หรือพนังเพกมาไทต์ ที่เรียกว่า “เอดซอร์บชันโพเทนเชียล” หรือซีตาโพเทนเชียล (adsorption or zeta potentials) ซึ่งโดยปกติที่ผิวตุขของแข็งมีค่าทางไฟฟ้าเป็นลบ ดังนั้นมีสารละลายอิเล็กโทรไลต์มากอยู่ติดกัน จะทำให้ไอโอนบวกในสารละลายอิเล็กโทรไลต์ มากอกันอยู่ที่ผิวรอบนอกของแข็งเสมอ หรือเรียกปรากฏการณ์นี้ว่า อิเล็กทริกดับเบิลเลเยอร์

(electric double layer) ของของแข็งและสารละลายน้ำ (Klee, 2000) หรือจากภาพประกอบ 1.2 ถ้าสารละลายน้ำอิเล็กโทรไลต์ในลักษณะด้านบน จะมีไอออกบากส่วนหนึ่งที่เกาะกับผนังของแข็งจนมาถึงบริเวณระหว่างนาบเฉือน (shear plane) ส่วนไอออกบากอื่นๆ ก็พยายามที่จะเข้าใกล้ผนังของแข็งให้มากที่สุดดังจะเห็นได้ว่ามีความหนาแน่นมากกว่าบริเวณอื่นๆ ซึ่งบริเวณห่างจากระหว่างนาบเฉือนออกมายังคงถูกพาไปกับการไหลของสารละลายน้ำอิเล็กโทรไลต์ได้อยู่ ตัวอย่างในกรณีนี้คือค่าผิดปกติที่สูงขึ้นถึง +100 มิลลิโวลท์ จากการวัดค่าเอสพีดีดผ่านผนัง (dyke) เพกมาไทต์ในหินไนส์ (gneiss) ดังภาพประกอบ 1.3

ภาพประกอบ 1.2 ลักษณะการเกิดอิเล็กทริกดับเบิลเดย์อิร์ (ที่มา : Klee, 2000)



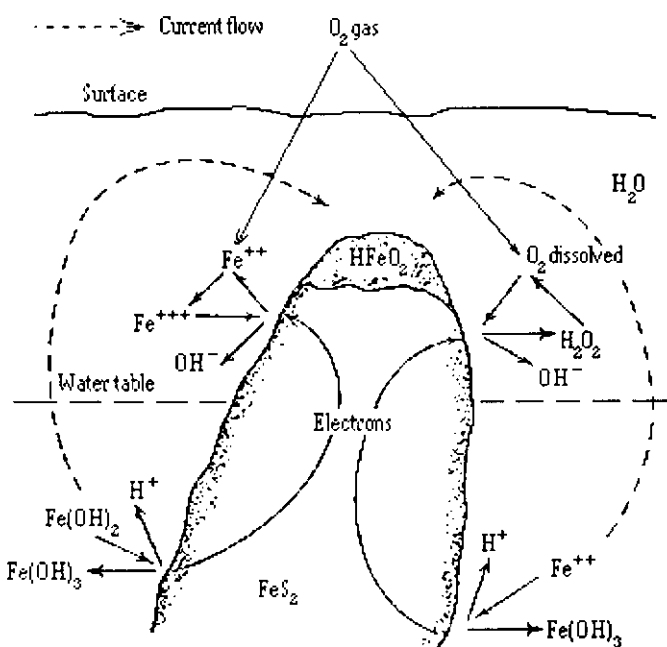
ภาพประกอบ 1.3 ภาคตัดขวางค่าผิดปกติของเอสพีดีในแนวตั้งจากกับผนังเพกมาไทต์ในหินไนส์ (ที่มา : Semenov, 1980)



1.3.3 มิเนอรัลโพเทนเชียล

มิเนอรัลโพเทนเชียลคือวิถีการเกิดค่าผิดปกติของเอนสพีที่เป็นลบมากๆ ซึ่งจะพบได้ในการสำรวจแหล่งแร่ชัลไฟฟ์ เชนแร่ไฟโรต์ คัลโคไฟโรต์และแร่ที่เป็นตัวนำไฟฟ้าที่ดีอื่นๆ นอกจากนี้ยังสามารถใช้ในการสำรวจแร่สฟาร์ตหรือแร่ที่นำไฟฟ้าไม่ดีอื่นๆ ได้อีกด้วย แต่ค่าผิดปกติที่ได้จะไม่เด่นชัดนัก

ภาพประกอบ 1.4 แบบจำลองการเกิดเอนสพีของแหล่งแร่ชัลไฟฟ์ (ที่มา : Sato and Mooney, 1960)



Sato and Mooney (1960) อธิบายการการเกิดมิเนอรัลโพเทนเชียลไว้ว่า เกิดจากการที่ก้อนมวลของแร่ตัวนำไฟฟ้าอย่าง เช่น ไฟโรต์ วางตัวอยู่ใต้ดินโดยท่อนล่างอยู่ต่ำกว่าระดับน้ำใต้ดิน ตามลักษณะนี้จะทำให้มีการเกิดปฏิกิริยาเรดอคซ์ (Redox) เกิดขึ้น โดยส่วนที่อยู่ต่ำกว่าระดับน้ำใต้ดิน จะเกิดปฏิกิริยาออกซิเดชัน (Oxidation) และส่วนที่อยู่เหนือระดับน้ำใต้ดินจะเกิดปฏิกิริยาตักชัน (Reduction) จากภาพประกอบ 1.4 พิจารณาฝั่งซ้ายเมื่อมี FeS₂ ทำปฏิกิริยากับน้ำ (H₂O) จะได้ Fe(OH)₂ และแอนิโอนอิสระของ H⁺ หนึ่งตัว เมื่อ Fe(OH)₂ เสียอิเล็กตรอนอีกหนึ่งตัวโดยการจับกับ (OH)⁻ จะได้เป็น Fe(OH)₃ ส่วนด้านบนไอกอนอิสระของ Fe⁺⁺⁺ จะรับอิเล็กตรอนกลับเป็น Fe⁺⁺ ส่วนด้านขวาเมื่อมีลักษณะคล้ายกัน ดังนั้นถ้ามองว่าห้องหมอดีอีเซลล์ไฟฟ้า จะเห็นว่าด้านบนจะเป็นขั้วลบด้านล่างจะเป็นขั้วบวกจึงทำให้มีการไหลของกระแสไฟฟ้าภายนอกเซลล์ (เนื่องจากในดินมีความชื้น และแร่ตัวนำกระแสงไฟฟ้าอื่นๆ ในดิน) จากด้านล่างเข้าด้านบน (ตามเส้นประ)

1.4 เครื่องมือสำหรับวัดเอสพี

เครื่องมือสำหรับวัดเอสพีเป็นเครื่องมือทางชลนิพิสิกส์ที่ง่ายที่สุด สามารถใช้ขั้วไฟฟ้าที่เป็นอนไฟฟ้าไวเรชันต่อเข้ากับโอลิเมเตอร์ที่มีค่าอินพุทคอมพีเดนท์มากกว่า 10^8 โอม และสามารถวัดค่าได้น้อยกว่า 1 มิลลิโอลิขั้วไฟฟ้าโดยทั่วไปจะทำการหงดลงจุ่มอยู่ในสารละลาย kobalt เปเฟตที่อิ้มตัว ($\text{Cu}-\text{CuSO}_4$) และสามารถทำให้สารละลายซึมผ่านฐานด้านล่างลงไปสุดินได้ นอกจาคนี้สามารถใช้สังกะสีในสารละลายชิงค์ชลเฟตที่อิ้มตัว ($\text{Zn}-\text{ZnSO}_4$) แพลตินัมในสารละลายโพแทลเซียมคลอไรด์ ($\text{Pt}-\text{KCl}$) เงินในสารละลายชิลเวอร์คลอไรด์ ($\text{Ag}-\text{AgCl}$) หรือเมอร์คิวรีในสารละลายเมอร์คิวรีคลอไรด์ ($\text{Hg}-\text{Hg}_2\text{Cl}_2$) ก็ได้

ในการวัดภาคสนามจะมีเทคนิคการปักขั้วไฟฟ้าอยู่สองวิธี โดยจะพยายามให้มีแนวการวัดขวางหรือตั้งฉากกับเป้าหมาย การปักขั้วทั้งสองวิธีเป็นดังนี้

1. การปักขั้วที่เรียกว่าระเบียบวิธีโพเทนเซียลเกรเดียนท์ (potential gradient) ใช้ขั้วไฟฟ้าสองขั้วปักให้ระยะห่างเท่ากันตลอดแนวการวัด โดยทั่วไปประมาณ 5 ถึง 10 เมตร ค่าที่บันทึกจะเป็นความต่างศักย์ไฟฟ้าที่วัดได้หารด้วยระยะห่างขั้วไฟฟ้าในหน่วยมิลลิโอลิท์ต่อมตร (mV/m) และจุดที่วัดค่าได้คือจุดกึ่งกลางระหว่างขั้วไฟฟ้า การย้ายขั้วไฟฟ้าจะให้วิธีกรดดัดข้ามโดยถ้าสมมติว่าขณะนี้ขั้วที่นำหน้าตามแนววัดเป็นขั้วบวก ในการวัดครั้งต่อไปขันนี้จะเปลี่ยนเป็นขั้влบ และขั้влบที่อยู่ด้านหลังขันนี้จะไปอยู่ด้านหน้าแทนและเปลี่ยนเป็นขั้วบวก ทั้งนี้เพื่อป้องกันการผิดพลาดเรื่องของ การปักขั้วที่จุดเดิม

2. การปักขั้วที่เรียกว่าระเบียบวิธีโพเทนเซียลแอมปลิจูด (potential amplitude) โดยการปักขั้วหนึ่งไว้กับที่ ณ ตำแหน่งอ้างอิงและไม่ใช้เป็นแหล่งแร่ และจะทำการวัดค่าความต่างศักย์ไฟฟ้าในหน่วยมิลลิโอลิท์ (mV) ระหว่างจุดอ้างอิงกับขั้วไฟฟ้าอีกขันนึงที่ปักตลอดแนวการวัด โดยระยะห่างระหว่างจุดที่เลื่อนไปเมื่อกำเป็นต้องเท่ากันตลอดกิโลเมตร ภาระด้วยแบบนี้สามารถป้องกันการสับสนเรื่องขั้วได้ แต่ต้องระวังไม่ให้สารละลายอิเล็กโทรไลต์ในขั้วไฟฟ้าที่เลื่อนไปกับขั้วที่ใช้เป็นศักย์ไฟฟ้าอ้างอิงมีอุณหภูมิที่แตกต่างกัน เพราะอาจจะทำให้เกิดค่าความต่างศักย์ที่ผิดปกติขึ้นได้ เช่นค่าศักย์ไฟฟ้าที่เปลี่ยนไปของขั้วไฟฟ้าแบบหงดลงในคوبเปอร์ชลเฟตเท่ากับ 0.5 มิลลิโอลิท์ต่อองศาเซลเซียสและสำหรับขั้วไฟฟ้าแบบโลหะเงินในชิลเวอร์คลอไรด์เท่ากับ 0.25 มิลลิโอลิท์ต่อองศาเซลเซียส (Reynolds, 1997)

สัญญาณรบกวนของเอสพีมีทั้งชนิดที่ไม่เปลี่ยนแปลงตามเวลาและชนิดที่เปลี่ยนแปลงตามเวลา เช่นสัญญาณรบกวนที่มาจากการขันบรรยายกาศ จะมีความถี่ประมาณ 5 - 10 เฮิรตซ์ และมีแอมปลิจูดอยู่ในช่วงเดียวกันกับมิเนอรัลโพเทนเซียลก็อาจทำให้เข้าใจว่าเป็นความผิดปกติมา

จากแร่โลหะก็เป็นได้ ปัญหานี้สามารถแก้ไขด้วยการวัดช้าในตำแหน่งเดิม แต่ต่างเวลา กันในรอบหนึ่งวันแล้วหาค่าเฉลี่ย นอกจากนี้ในกรณีของการวัดค่าเอสพีหลังจากการมีฝนตกหนักและมีน้ำไหลบนผิวดินอาจทำให้เกิดสตรีมมิงโพเทนเชียลที่มีค่าผิดปกติขนาดเดียวกับมิเนอรัลโพเทนเชียลได้ เช่นกัน

การวัดค่าเอสพีสามารถกระทำการบันผิวน้ำเพื่อวัดค่าสตรีมมิงโพเทนเชียลได้ แต่จะต้องปิดฐานของช้าไฟฟ้าไม่ให้สารละลายภายนอกไปในหลอดอกมาได้ เพื่อรักษาระดับความเข้มข้นของน้ำให้เท่าเดิม แต่จะเบี่ยงบีบให้สามารถใช้ได้กับน้ำที่ไม่มีการเปลี่ยนแปลงเอสพีตามความลึก หรือมีการไหลของกระแสไฟฟ้าในแนวตั้งน้อยมากๆ หรือไม่มีเลย (Ogilvy, et al., 1969) ในกรณีของน้ำเกลือ (NaCl) ที่มีสภาพด้านทานไฟฟ้าประมาณ $0.3 - 1$ โอม์เมตร พนว่าเอสพีที่วัดได้มีค่าต่ำมาก

นอกจากวอลท์มิเตอร์แล้ว ยังมีเครื่องมือที่ถูกสร้างขึ้นมาเพื่อการวัดเอสพีโดยตรงอีกด้วย ชนิด เช่น เครื่อง Borehole Resistivity System ของบริษัท Geotech ที่สามารถวัดเอสพีได้ในช่วง ± 1000 มิลลิโวลท์ และเทอรามิเตอร์ของบริษัท ABEM รุ่น SAS 300B ที่สามารถวัดเอสพีได้ด้วย การปรับช่วงการวัดแบบอัตโนมัติ แต่ไม่เกิน ± 500 โวลท์ มีความเที่ยงตรง (Accuracy) ที่ 0.01 ถึง 1 มิลลิโวลท์ และรุ่น SAS 4000 ซึ่งสามารถวัดค่าเอสพีได้ระหว่าง 1 ไมโครโวลท์ถึง 400 โวลท์ มี การเลือกช่วงการวัดแบบอัตโนมัติ และค่าความละเอียดที่ 30 นาโนโวลท์ ความเที่ยงตรงดีกว่า 1 เปอร์เซ็นต์ตลอดช่วงอุณหภูมิทำงาน (-5 ถึง 50 องศาเซลเซียส) นอกจากนี้ทั้งสองรุ่นของบริษัท ABEM สามารถทำการวัดช้าหลายครั้ง (Stack) เพื่อหาค่าเฉลี่ยได้ และเชื่อมต่อกับคอมพิวเตอร์ ทางซ่องสัญญาณมาตรฐาน RS-232

งานวิจัยนี้ได้ใช้เทอรามิเตอร์ SAS 300B ทำหน้าที่วัดค่าเอสพี และสร้างเครื่องมือเพิ่มเติมในส่วนทำหน้าที่ควบคุมการวัดและสับสายนำสัญญาณเพื่อต่อ กับช้าไฟฟ้าในตำแหน่งที่ต้องการวัดแบบอัตโนมัติ ตลอดจนถึงการตั้งเวลาทำการวัดแบบฝ่าติดตามและการบันทึกลงแฟ้มข้อมูล ซึ่งจะทำให้การวัดในทุกๆ ตำแหน่ง (ทุกๆ ช้าไฟฟ้า) ในพื้นที่เดียวกันใช้เวลาอย่างมากสำหรับ และใช้คนเพียงคนเดียวสำหรับการทำงานภาคสนามได้

1.5 การปรับแก้ข้อมูลเอสพี

การวัดค่าเอสพีในพื้นที่ใหญ่กว่า 1 ตารางกิโลเมตรค่าผิดปกติของเอสพีอาจถูกหักลบด้วย อิทธิพลของกระแสเทลลูริก (telluric current) ซึ่งจะมีค่าประมาณ ≥ 100 มิลลิโวลท์ต่อ กิโลเมตร แต่สามารถแก้ปัญหาได้ด้วยการปรับแก้เชิงภูมิภาค อย่างไรก็ตามการวัดค่าเอสพีในพื้นที่เล็กๆ มีแนววัดไม่ถึง 1 กิโลเมตร ก็ไม่มีความจำเป็นในการปรับแก้ค่ามากนัก นอกจากนี้ยังมีอิทธิพลของความสูงด้วย ซึ่งสั่งดับความสูงในพื้นที่แตกต่างกันไม่มากนักก็ไม่ต้องทำการปรับแก้เชิงภูมิภาค เช่นกัน

ค่าเอสพีเป็นลบมากที่ความสูงเพิ่มขึ้น คาดว่ามาจากการผลของกระแสไฟฟ้าลูริกด้วยเห็นกัน ซึ่งนอกจากราคาเดือนี้และสาเหตุของการในดของน้ำจากที่ถุงลงสู่ที่ต่ำแล้วนอกจากนั้นยังไม่มีสาเหตุอื่นที่มีการพิสูจน์ให้ชัดเจน ซึ่งเป็นการยกที่จะแยกแยะองค์ประกอบของการเกิดค่าผิดปกติแบบนี้ได้ แต่ก็สามารถที่ปรับแก้ในเชิงคุณภาพได้ ซึ่ง Yungnye (1950) กำหนดวิธีไว้และมีการพิสูจน์เพิ่มเติมโดย Bhattacharya and Roy (1981) หลักจากนั้น Bhattacharya ปรับปรุงอีกครั้งหนึ่งเมื่อปี 1986 โดยได้ข้อสรุปว่า ถ้าความชันของพื้นที่ทำการสำรวจมากกว่า 20 องศา จะต้องทำการปรับแก้ค่าเอสพี โดยการหักลบค่าเอสพีที่วัดได้ด้วยค่าผิดปกติเชิงภูมิภาค

นอกจากนี้ยังมีสัญญาณบวกนที่มาจากการศึกษาไฟฟ้าชีวภาพ (Bioelectric potential) ของพื้นที่ ด้วย ซึ่งสามารถให้ค่าความผิดปกติที่เป็นลบได้ถึงหลักร้อยมิลลิโวลต์ ค่าผิดปกติของเอสพีจากพื้นที่ กับจากแร่ มีขนาดและรูปแบบใกล้เคียงกัน จึงต้องมีการป้องกันด้วยการทำจัดพื้นที่ในจุดวัดไม่ให้มีความหนาแน่นมากเกินไปด้วย

1.6 การแปลความข้อมูลค่าผิดปกติของเอสพี

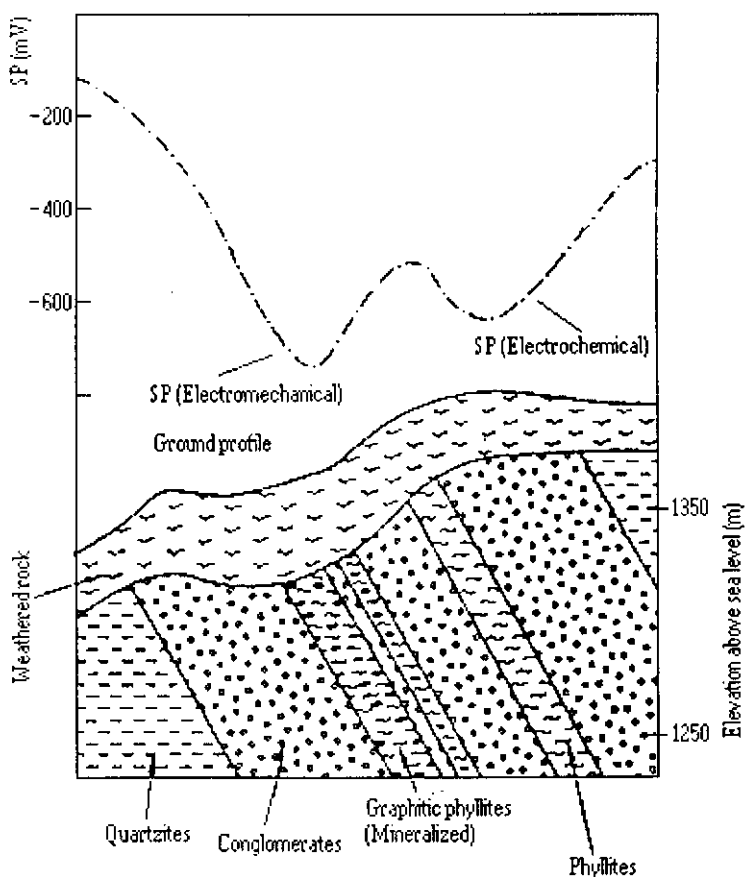
การแปลความข้อมูลค่าผิดปกติของเอสพีส่วนใหญ่จะเป็นการแปลความเชิงคุณภาพ โดยพิจารณาจากรูปร่างภาคตัดขวาง (profile shape) ค่าแอมป์ลิจูดของข้อมูล ความเป็นข้าว (ค่าบวกหรือลบ) และรูปแบบคอนทัวร์ (contour pattern) ด้านบนสุดของแหล่งเรือนูมานได้ว่าเป็น ตำแหน่งของจุดวัดที่ให้ค่าเอสพีน้อยที่สุด ถ้าแกนของข้าวที่เกิดขึ้นคือแกนระหว่างข้าวแคโทดและแอนодаของกลุ่มก้อนแร่ได้เอียงไปทางแนวตั้ง จะทำให้ลักษณะเส้นกราฟค่าผิดปกติไม่สมมาตร ด้านที่เส้นกราฟมีค่าบวกของเอสพีมากกว่าจะเป็นด้านของฐานกลุ่มก้อนแร่หรือเป็นด้านที่แสดงถึงการวางตัวที่เอียงไปจากเส้นสมมาตร

ในกรณีที่มีแหล่งกำเนิดค่าผิดปกติของเอสพีมากกว่านี้แหล่งในพื้นที่เดียวกันจะทำให้มีการข้อนทับกันของค่าผิดปกติของเอสพี อย่างเช่นภาพประกอบ 1.5 แสดงค่าผิดปกติของเอสพี จากมิเนอรัลไฟฟ์ที่มีลักษณะเป็นร่องซึ่งจะให้ค่าผิดปกติที่ -740 มิลลิโวลต์ และมีค่าผิดปกติจากอีกแหล่งกำเนิดอีก一处ที่มีลักษณะเป็นร่องซึ่งให้ค่าผิดปกติที่ -650 มิลลิโวลต์ แต่อย่างไรก็ตามถึงแม้ว่าจะมีแหล่งกำเนิดค่าผิดปกติอยู่ใกล้เคียงกัน แต่ถ้ามีการวางตัวที่แตกต่างกัน ก็สามารถแยกแยะออกได้ด้วยการพิจารณาจากลักษณะเส้นกราฟ ดังตัวอย่างในภาพประกอบ 1.6 จะเห็นว่าถ้าการวางตัวของกราไฟต์ในรูปแรกมีแนวเป็นรูปประทุนงาย (Syncline) เราจะได้ค่าผิดปกติที่มีจุดต่ำสุดอยู่สองตำแหน่ง ซึ่งเป็นตำแหน่งตรงกับส่วนบนสุดของกราไฟต์ทั้งสอง ส่วนในภาพประกอบสอง การวางตัวของกราไฟต์มีลักษณะเป็นประทุนคว่ำ (Anticline) ทำให้ค่าต่ำที่เป็นลบข้อนทับกันจนกลายเป็นค่าผิดปกติที่มาจากการตัวกลางที่ใหญ่ขึ้น แต่

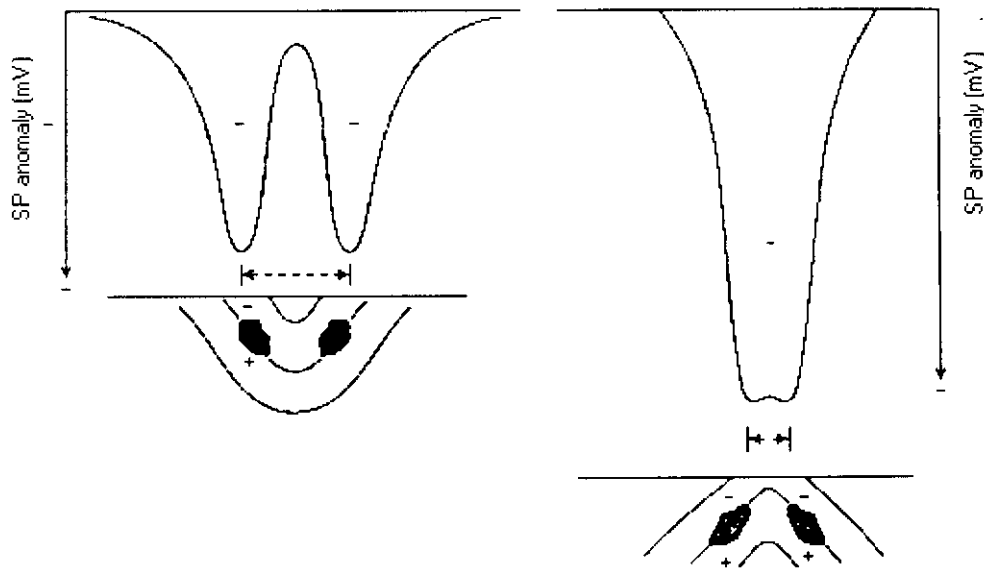
อย่างไรก็ตามก็ยังสามารถแยกได้ว่ามีจุดต่ำสุดอยู่ 2 ค่า ซึ่งระยะระหว่างจุดต่ำสุดทั้งสองจะเท่ากับระยะห่างด้านบนของแหล่งแกรนไฟต์ทั้งสองนั้นเอง

การแปลความข้อมูลเอสพีเชิงปริมาณ ปกติจะอนุมานว่ารูปร่างของตัวกลางเป็นทรงกลม เป็นแผ่น หรือเป็นแท่ง และกำหนดเครื่องหมายของข้อว่า แล้วทำการคำนวนค่าจากแบบจำลองเพื่อเปรียบเทียบกับค่าที่ได้จากการสำรวจ ส่วนการอนุมานค่าความลึกถึงจุดศูนย์กลางของตัวกลาง สามารถใช้เทคนิคความกว้างครึ่งค่า (half-width) ได้ ตัวอย่างค่าผิดปกติของเอสพีที่ได้จากตัวกลางทรงกลมและตัวกลางที่เป็นแผ่นแสดงดังภาพประกอบ 1.7 และตัวกลางที่เป็นแท่งแสดงดังภาพประกอบ 1.8 ส่วนภาพประกอบ 1.9 เป็นการแปลความค่าผิดปกติของเอสพีด้วยการสร้างแบบจำลองเพื่อกำหนดลักษณะของแหล่งแร่แกรนไฟต์

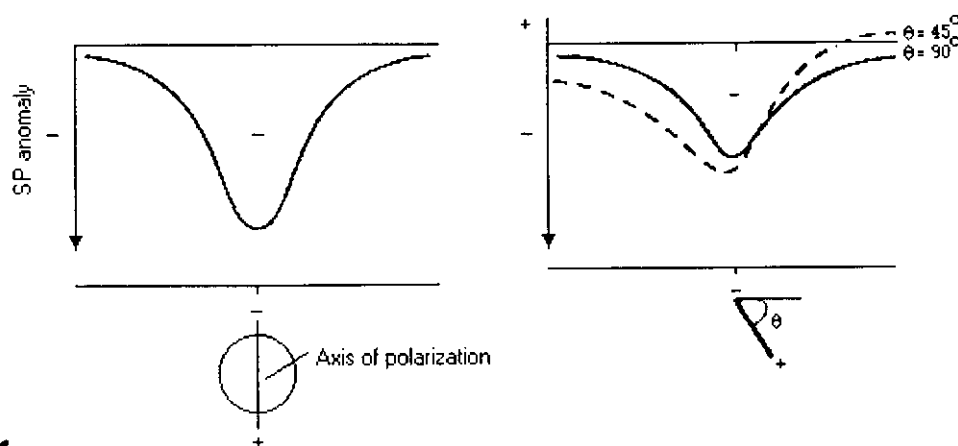
ภาพประกอบ 1.5 ค่าผิดปกติที่มีการซ้อนทับกันของเอสพีแบบมินอรัลโพเทนเซียลของกราฟิติกฟิลไลต์ และค่าผิดปกติแบบอิเล็กโตรไคเนติกโพเทนเซียลจากการในลงอน้ำในชั้นหินกรวดมณ (ที่มา : Nayak, 1981)



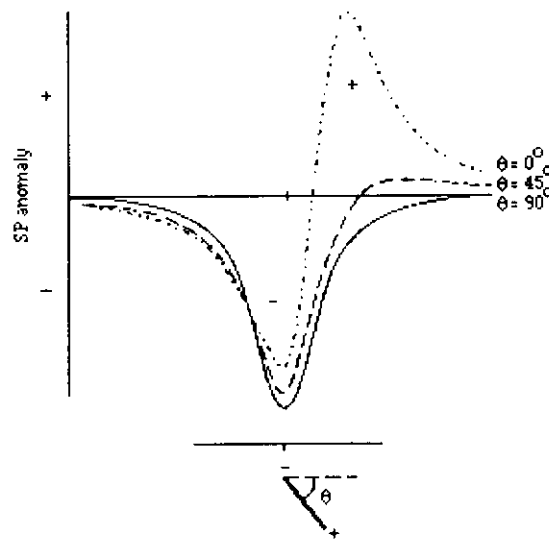
ภาพประกอบ 1.6 ค่าผิดปกติของเอสพีกับลักษณะการวางตัวของตัวกลังสองแหล่งและสองแบบ
(ที่มา : Meiser, 1962)



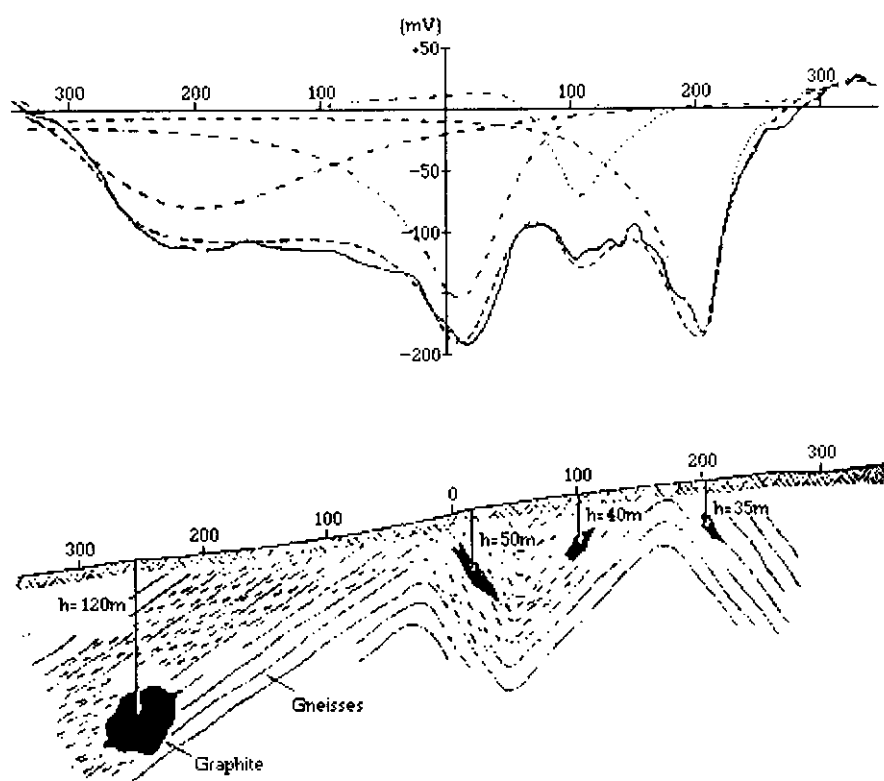
ภาพประกอบ 1.7 ค่าผิดปกติของเอสพีที่มาจากการตัวกลังทรงกลมและเป็นแผ่น (ที่มา : Parasnis,
1986)



ภาพประกอบ 1.8 ค่าผิดปกติของเอสพีที่มีมาจากการตัวกลางเป็นแท่ง (ที่มา : Telford, et al., 1990)



ภาพประกอบ 1.9 แบบจำลองค่าผิดปกติของเอสพีจากสี่เหลี่ยมกำเนิดของแกรไฟต์ (เส้นประ) กับค่าที่ได้จากการสำรวจ (เส้นทึบ) และผลการเจาะสำรวจ (ที่มา : Meiser, 1962)

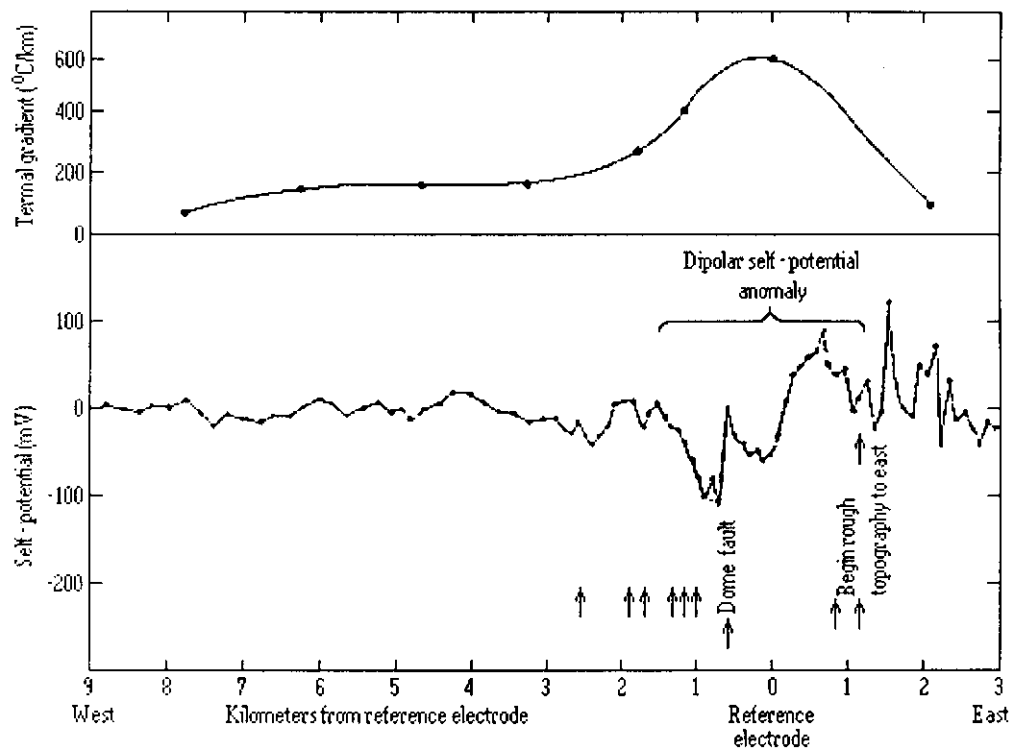


1.7 การตรวจเอกสาร

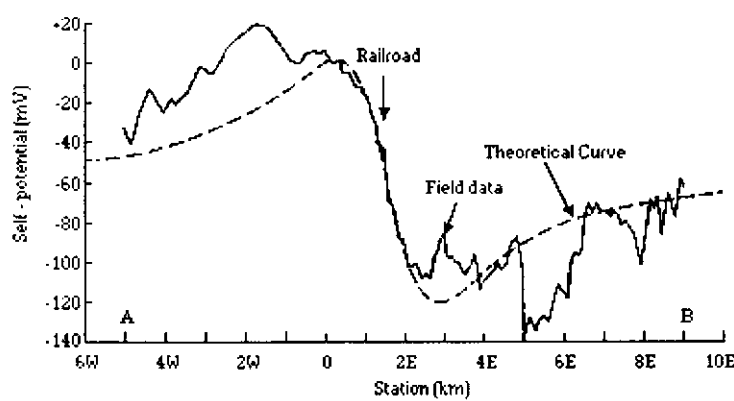
การประยุกต์ใช้รัระเบียบวิธี kospi พิพนวมีหลายด้าน เช่น นำไปใช้ในการกำหนดขอบเขตแหล่งน้ำพุร้อน แหล่งน้ำบาดาล แหล่งปูนเปื้อนจากสารไฮโดรคาร์บอนและแหล่งฝังกลบขยะเป็นต้น ซึ่งมีตัวอย่างที่สำคัญดังนี้

กรณีการประยุกต์ใช้ในการกำหนดขอบเขตแหล่งน้ำพุร้อน Stierman (1998) ได้นำรัระเบียบวิธี kospi ไปใช้ในการสำรวจหาโครงสร้างทางธรณีวิทยาในบริเวณที่มีการไหลเวียนของน้ำในแหล่งน้ำพุร้อนไกเซอร์ส ที่บริเวณตอนเหนือของชานฟราวนซิลโก เช่นเดียวกับ Apostolopoulos, et al., (1997) ที่ได้ทำการสำรวจ kospi ในแหล่งน้ำร้อนตามธรรมชาติ โดยขณะทำการสำรวจได้ทำการวัดค่าศักย์ไฟฟ้าที่เกิดจากสัญญาณรบกวนของกระแสเหลอลูริกด้วยเพื่อเป็นข้อมูลในการปรับแก้ค่าผิดปกติที่ได้ ซึ่งพบว่าการเปลี่ยนความข้อมูลเบรียบเทียบกับรัระเบียบวิธี VLF (Very-Low-Frequency) สามารถกำหนดโครงสร้างทางธรณีวิทยาได้สอดคล้องกัน นอกจากนี้ Corwin and Hoover (1979) ก็ใช้รัระเบียบวิธี kospi สำรวจในแหล่งน้ำพุร้อนรูสเวลต์ (Roosevelt) ที่มีลักษณะที่ Utah ประเทศสหรัฐอเมริกา ซึ่งเป็นแหล่งแร่อุ่นในตัวและไฟฟ้าอยู่ด้วย ค่าผิดปกติของแร่ทั้งสองจะให้ kospi เป็นลบ ในขณะที่บริเวณที่มีน้ำพุร้อนขึ้นมาจะให้ค่า kospi เป็นบวกถึง +80 มิลลิโวลท์ ซึ่งค่าผิดปกติของ kospi มีการซ่อนหักกันจากแหล่งที่มาสองชนิด แต่สามารถใช้ข้อมูลการสำรวจอุณหภูมิเป็นตัวช่วยในการเปลี่ยนความได้ ซึ่งค่าอุณหภูมิที่สูงที่สุดจะตรงกับตำแหน่งที่ค่าผิดปกติของ kospi สูงสุดและเป็นตำแหน่งของบ่อน้ำพุร้อนพอดี แสดงในภาพประกอบ 1.10 และในปีเดียวกัน Corwin and Hoover (1979) รายงานผลการสำรวจด้วย kospi ในแหล่งน้ำร้อนเซอร์โร Prieto (Cerro Prieto) ประเทศเม็กซิโก แสดงในภาพประกอบ 1.11 พบว่าค่าผิดปกติมีจุดศูนย์กลางอยู่ที่รอยเลื่อนฮิดอลโก (Hidalgo fault) โดยมีค่า kospi จำกัดสูงสุดถึงต่ำสุดประมาณ 150 มิลลิโวลท์ ต่อมา Fitterman and Corwin (1982) ได้ทำเป็นแผนที่คอนทัวร์ของพื้นที่เดียวกัน ซึ่งพบว่ามีบริเวณที่ค่าผิดปกติเป็นลบและเป็นบวกอยู่สองด้านของรอยเลื่อนฮิดอลโก (เส้นประ) เช่นกัน แสดงในภาพประกอบ 1.12 ดังนั้นจะเห็นได้ว่ารัระเบียบวิธี kospi มีความสำคัญในการสำรวจพื้นที่แหล่งน้ำพุร้อนเป็นอย่างมาก แต่การสำรวจในทุกพื้นที่มีอุปสรรคที่สำคัญคือ ต้องใช้วิธีเลื่อนข้าวไฟฟ้าไปตลอดพื้นที่สำรวจ ทำให้มีระยะเวลาที่ต่างกันมากระหว่างการวัดที่ตำแหน่งแรกและตำแหน่งสุด ท้ายซึ่งจะส่งผลให้มีสัญญาณรบกวนจากภายนอกเข้ามามีผลทำให้ค่าที่วัดได้แตกต่างจากความเป็นจริง โดยเฉพาะอย่างยิ่งในกรณีมีการกลับไปวัดซ้ำที่ตำแหน่งเดิมอีกครั้งจะต้องใช้เวลาถึงสองเท่าของเวลาเดิม

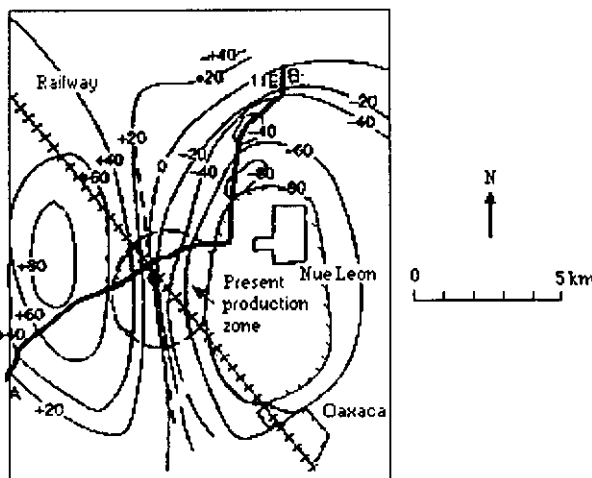
ภาพประกอบ 1.10 ค่าผิดปกติของเօสพีและอุณหภูมิจากแหล่งน้ำพุร้อนญี่ปุ่น (ที่มา : Corwin and Hoover, 1979)



ภาพประกอบ 1.11 ค่าผิดปกติของเօสพีในแหล่งน้ำร้อนเทอร์โมพรีโตประเทศไทยเม็กซิโก (ที่มา : Corwin and Hoover, 1979)

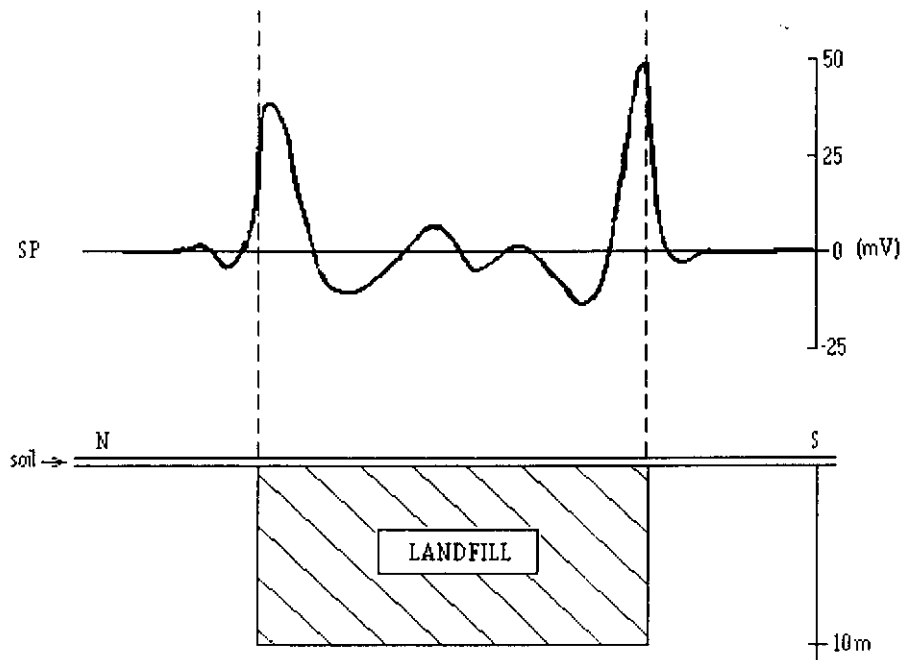


ภาพประกอบ 1.12 ค่อนทัวร์ค่าผิดปกติของเอสพีในพื้นที่เดียวกันกับภาพประกอบ 1.11 (ที่มา: Fitterman and Corwin, 1982)



กรณีการประยุกต์ใช้กำหนดพื้นที่แหล่งปนเปื้อนโดย Coleman (1991) ได้ทำการทดลองสำรวจเอสพีในหลุมขยะแบบผังกลบ (Landfill) พบว่าค่าผิดปกติของเอสพีจะเป็นบวกอย่างชัดเจน ที่ขอบของหลุมขยะทั้งสองด้านดังแสดงในภาพประกอบ 1.13 ซึ่งสามารถระบุได้ชัดเจนถึงการรั่วออกไปของของเสีย นอกจากนี้ Perry and Corry (2000) นำระบบเบียนวิธีเอสพีไปสำรวจในแหล่งที่ดินมีสิ่งปนเปื้อนจากสารไฮโดรคาร์บอนบริเวณย่านการค้าคิงไฮเวย์ (King Highway Plaza) ในเมืองสตรา�าม (Stratham) นิว汉普เชียร์ (New Hampshire) และที่ฐานทัพอาภาคพีซ (Pease) ในมณฑลร็อกกิงแฮม (Rockingham) นิว汉普เชียร์ (New Hampshire) พบว่าระบบเบียนวิธีเอสพีให้ผลที่ชัดเจนในการสำรวจเพื่อวิเคราะห์แหล่งปนเปื้อนจากสารไฮโดรคาร์บอน โดยที่มีค่าใช้จ่ายน้อยกว่าการใช้วิธีอื่นๆ และสามารถใช้เป็นระบบเฝ้าติดตามการเกิดขึ้นและการเคลื่อนย้ายของแหล่งปนเปื้อนได้ แต่มีอุปสรรคในเรื่องของการใช้เวลาในการเก็บข้อมูลค่อนข้างมากและในการวัดซ้ำที่ต้องแบ่งเดิมมีความผิดพลาดได้ง่ายถ้าการปักข้อไฟฟ้าไม่เหมือนเดิม นอกจากรูปที่แสดงมีการสำรวจทำภาระสำรวจที่ต้องใช้เวลาและแรงงานมาก แต่ในความเป็นจริงมีการสำรวจที่ต้องใช้เวลาและแรงงานน้อยลง แต่ต้องมีความแม่นยำและรวดเร็ว

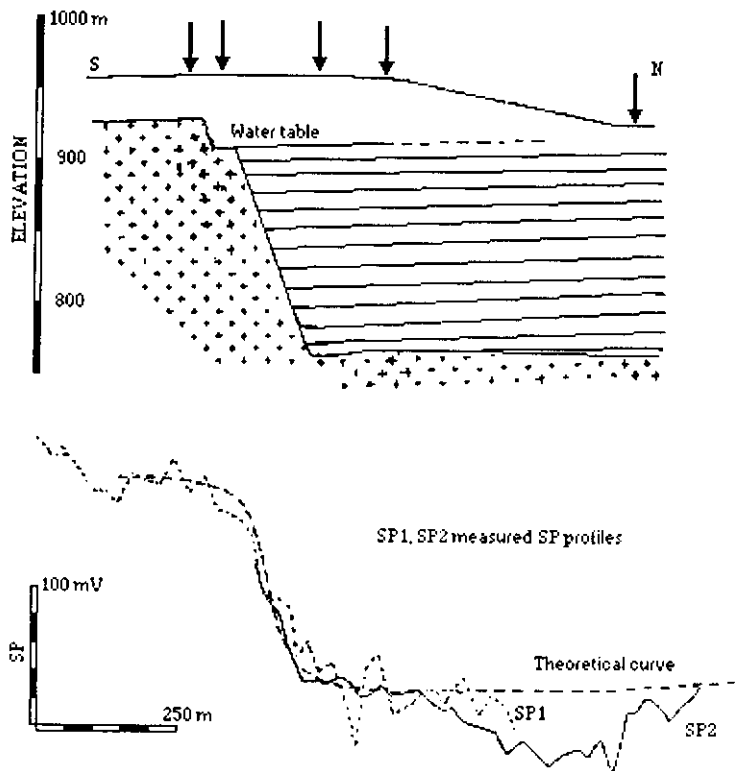
ภาพประกอบ 1.13 ค่าผิดปกติของเอสพีในพื้นที่แหล่งฝังกลบขยะ (ที่มา : Coleman, 1991)



กรณีการประยุกต์ใช้ระเบียบวิธีเอสพีที่สำคัญอีกด้านหนึ่งคือ การใช้ติดตามการเคลื่อนที่ของน้ำบาดาลซึ่ง Fournier (1989) ได้ใช้ระเบียบวิธีเอสพีเพื่อหาข้อบ่งชี้น้ำอุ่นที่อยู่ในชั้นหินภูเขาไฟในพื้นที่ Chaine des Puys ตอนกลางของประเทศฝรั่งเศส ภาพประกอบ 1.14 ซึ่งเมื่อใช้การแปลความร่วมกับข้อมูลสภาพด้านทันทนาไฟฟ้าแบบหยังลึก (ณ จุดที่ครรช.) พบร่วมสามารถกำหนดขอบเขตได้อย่างชัดเจน เช่นเดียวกับ Bergström (1998) ที่ใช้ระเบียบวิธีศักย์ไฟฟ้าในการติดตามการเปลี่ยนรูปแบบการไหลของน้ำบาดาลในเหมืองแร่ Storgruve ประเทศสวีเดน เป็นเวลาประมาณ 1 ปี พบร่วมลักษณะการไหลของน้ำบาดาลไม่มีการเปลี่ยนแปลงแต่มีการกัดกร่อนระหว่างชั้นดินตลอดระยะเวลาสำรวจ นอกจากนี้ Pinettes, et al., (2000) ได้ทำการสำรวจเอสพีที่เกิดจากการไหลของน้ำบาดาลภายในรอยแตกของหินแกรนิตที่มีระดับความลึก 150 เมตร พบร่วมสัญญาณที่ตรวจวัดได้มีค่าน้อยมาก จึงเป็นการยากที่จะใช้ระเบียบวิธีวัดเอสพีกับแหล่งกำเนิดเอสพีที่มีระดับความลึกมากๆ ใน การประยุกต์ใช้ระเบียบวิธีเอสพีเพื่อติดตามการเคลื่อนที่ของน้ำบาดาล มีความจำเป็นต้องวัดเอสพีที่ทุกๆ จุดวัดซึ่งน้ำลายครั้งซึ่งปัญหาที่เป็นอุปสรรคอย่างมากคือการปักเข้าไฟฟ้าที่จุดเดิม ไม่สามารถทำให้เหมือนกันได้ทุกครั้งหรือแม้กระทั่งถ้ามีการปักที่ตำแหน่งคล้ายเดิมไปแล้วดินมีความซึมต่างกันก็จะส่งผลให้ข้อมูลที่ได้มีความแตกต่างกันด้วย

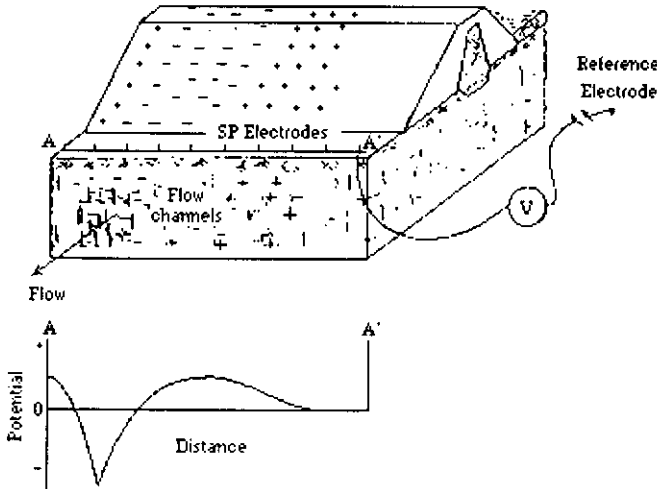
**Central Library
Prince of Songkla University**

ภาพประกอบ 1.14 ภาคตัดขวางของชั้นหินอุ่มน้ำที่ได้จากการแปลความข้อมูลสภาพด้านท่านไฟฟ้าและค่าผิดปกติของเอสพี (ที่มา : Fournier, 1989)

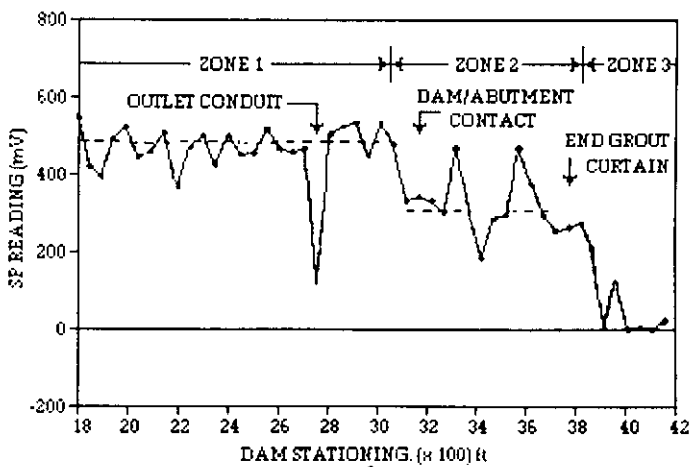


Bogoslovsky and Ogilvy (1970a, b) กล่าวไว้ว่าระเบียบวิธีเอสพีสามารถใช้ในการสำรวจหารอยร่องของเชื่อนเก็บน้ำตามธรรมชาติได้ (เชื่อนเก็บน้ำที่มีฐานบนพื้นดิน) โดยมีแนวคิดเกี่ยวกับกรณีดังภาพประกอบ 1.15 นั้นคือค่าเอสพีจะเป็นลบตลอดผิวดินด้านบนของรอยร่อง หลังจากนั้น Butler and Liopis (1990) ใช้ระเบียบวิธีเอสพีสำรวจอ่างเก็บน้ำมิลล์ครีก (Mill Creek) ในมลรัฐวอชิงตัน สหรัฐอเมริกา เพื่อพิจารณาถึงความเป็นไปได้ว่ามีรอยร่องหรือไม่ ซึ่งจากภาพประกอบ 1.16 พบว่าในบริเวณที่ไม่ได้ทำการอัดฉีดน้ำปูน (Grout) ในรอยแตกของหินมีค่าเอสพีลดลงต่ำมาก เมื่อเปรียบเทียบกับการวัดผ่านท่อระบายน้ำ (Outlet conduit) ค่าเอสพีก็ลดต่ำลงมากเช่นกัน จึงเป็นไปได้ว่ามีรอยแตกในบริเวณที่ไม่ได้อัดฉีดน้ำปูนในพื้นที่นั้น

ภาพประกอบ 1.15 แบบจำลองแสดงแนวคิดค่าผิดปกติของเอสพีที่ได้จากแหล่งที่มีรอยร้าวของ
เชื่อน (ที่มา : Bogoslovsky and Ogilvy, 1970a, b)



ภาพประกอบ 1.16 ค่าผิดปกติของเอสพีจากอ่างเก็บน้ำมิลล์ครีก (ที่มา : Butter and Llopis, 1990)



นอกจากการประยุกต์ใช้ระเบียบวิธีเอสพีในกรณีต่างๆ แล้วยังมีการศึกษาเกี่ยวกับค่าคงตัวสติร์มมิงโพเทนเซียล (C_E) ด้วยโดย Tuman (1963a) ทำการวัดค่า C_E จากตัวอย่างที่แตกต่างกัน 3 ชนิดของหินทรายพบว่าค่ามีความสัมพันธ์กับความพูนของตัวอย่าง โดยถ้าความพูนลดลงจะทำให้ค่า C_E ลดลงด้วย หลังจากนั้น Tuman (1963b) ได้เสนอความสัมพันธ์ของความดันที่มีผลต่อค่า C_E สามกรณีคือ กรณีที่หนึ่งที่ความดันน้อยๆ ค่าสติร์มมิงโพเทนเซียลจะลดคล่องกับกฎของ Helmholtz-Smoluchowski ตามสมการ (2) กรณีที่สองถ้าสารละลายอิเล็กโทรไลต์ในเลี้ยงจะทำให้อัตราส่วน $\Delta V / \Delta P$ เพิ่มขึ้นตามความดัน เข้าอิบิายว่ามาจาก การเคลื่อนที่ของจำนวนไออ่อน

ที่อยู่ในบริเวณดับเบิลเดเยอร์ไปยังตำแหน่งแกนกลางของห่อตามความเร็วของการไหลของสารละลายอิเล็กโทรไลต์ที่เพิ่มขึ้น กรณีที่สามถ้าความดันที่ปลายทั้งสองของห่อแตกต่างกันมากๆ (สารละลายอิเล็กโทรไลต์ในลิ้นเรี้ยวมากๆ) จะทำให้อัตราส่วน $\Delta V / \Delta P$ ลดลง เนื่องจากไอออนถูกพาไปเร็วเกินกว่าที่จะเคลื่อนที่เข้าไปในบริเวณดับเบิลเดเยอร์ ต่อมาน Ahmud (1964) ได้ทำการวัดค่า C_E ของทรัพยากร่วมกับค่าของเม็ดที่มีขนาดต่างๆ กันในภาชนะที่แตกต่างกัน 3 ชนิดคือ เป็นกล่องสี่เหลี่ยมเป็นห้องทรงกระบอก และกล่องรูปลิ่ม พบว่าได้ค่า C_E เท่ากันในภาชนะทุกรูปทรง แต่ค่า C_E จะเพิ่มขึ้นถ้าขนาดของเม็ดและค่าของค่าของเม็ดและค่าสภาพการซึมได้ (Permeability)ลดลง ซึ่งได้สรุปว่าค่าสภาพการซึมได้เป็นปฏิภาคโดยตรงกับขนาดของเม็ดแร่ (Grain size) ซึ่งสัมพันธ์กับผลการทดลองของ Schuch and Wanke (1967) ที่ทำการวัดค่า C_E ของตัวอย่างดินที่ทำจากทรัพยากร่วมพืชมoss (Peat-moss) พบว่าค่า C_E ของทรัพยามากกว่าของพืชมossเล็กน้อย แต่ถ้าหากมีปริมาณของดินเนื้ียวในทรัพยามากขึ้นจะทำให้ค่า C_E เพิ่มมากขึ้นด้วย และสอดคล้องกับการทดลองของ Ogilvy, et al., (1969) ที่ได้ทำการวัดค่า C_E ของทรัพยากร่วมกับค่าของค่าของเม็ดที่มีขนาด 250 – 315 ไมครอน จึงสามารถสรุปได้ว่าค่า C_E มีความสัมพันธ์กับขนาดเม็ดแร่ของตัวกลางแบบผกผัน ถ้าเม็ดแร่มีขนาดเล็กลงจะทำให้ค่า C_E มากขึ้น

Ishido and Mizutani (1981) ทำการประมาณค่าสตูร์มิงโพเทนเชียล (ζ) ของหินและ安排กอนหินจากตัวอย่างหินที่เย็นตัวในชั้นเปลือกโลก เข้าใช้แบบจำลองหลอดรูเล็ก (capillary model) ในการหาความสัมพันธ์ระหว่าง C_E และ ζ ซึ่งสนใจในกรณีของอิทธิพลจากอุณหภูมิ ค่า pH และองค์ประกอบทางเคมีของสารละลายอิเล็กโทรไลต์ เข้าพบว่าค่าของ ζ จะเพิ่มขึ้นประมาณ 50 เพรอร์เซ็นต์เมื่ออุณหภูมิเพิ่มจาก 20 องศาเซลเซียสเป็น 70 องศาเซลเซียส ส่วนผลของ pH ต่อค่า ζ พบว่าจะเหมือนกันในเร่ทุกชนิด คือค่า ζ จะเป็นลบที่ค่า pH เป็นกลางและมีค่าลดลงเมื่อ pH ลดลง และที่สำคัญพบว่าองค์ประกอบทางเคมีของสารละลายอิเล็กโทรไลต์มีอิทธิพลต่อผลการทดลองอย่างมาก ซึ่งสามารถทำให้ค่าที่กล่าวถึงก่อนหน้านี้ทั้งสองค่ากลับจากลับเป็นบวกได้ เช่น สารละลายที่มี Al^{3+} สามารถทำให้ ζ เป็นบวกที่ pH เป็นกลางได้ ดังนั้นจึงนับว่าองค์ประกอบทางเคมีมีอิทธิพลอย่างมากต่อ ζ

Sprunt, et al., (1994) ทำการทดลองหาค่า C_E จากหินปูน (Limestone) ด้วยการเปลี่ยนค่าการซึมได้จาก 1 ถึง 100 มิลลิเดาร์ซี (1 ดาวร์ซีเท่ากับ 0.987×10^{-12} ตารางเมตร) พบว่าค่า C_E ของหินปูนไม่ขึ้นกับค่าสภาพการซึมได้ ซึ่งแตกต่างกับค่า C_E ของหินทรัพยากร่วมที่ได้จากการทดลองของ

Jouniaux and Pozzi (1995) ที่ทำการวัดค่า C_E ของตัวอย่างหินทรายที่มีค่าสภาพซึ่งได้ตั้งแต่ $0.15-1220 \times 10^{-12}$ ตารางเมตร ซึ่งพบว่า C_E ลดลงเมื่อค่าสภาพการซึมได้ลดลง

นอกจากนี้ยังมีการทดลองเพื่อหาค่า C_E ในตัวอย่างต่างๆ อิเกหลายชนิด ซึ่งได้รวมรวมไว้ในตารางนี้ที่สำคัญตามตาราง 3

ตาราง 3 ค่า C_E ในตัวอย่างที่แตกต่างกันบางชนิด ปกติถ้าไม่มีการหมายเหตุ (Comment) ไว้ จะเป็นการทดลองที่อุณหภูมิห้อง และค่า pH เป็นกลาง (เครื่องหมายลบหน้า C_E และ C_E/ρ เป็นส่วนกลับกับค่าที่ได้จากการทดลอง) (ที่มา : Friberg, 1996)

Authors	Sample	Electrolyte resistivity, $\rho (\Omega \text{ m})$	$-C_E$ (mV/kPa)	$-C_E/\rho \times 1000$ (mV/kPa $\Omega \text{ m}$)	Comment
Ahmad (1964)	Quartz sand	24	0.4-0.64	17-27	
Ahmad (1964)	Quartz sand	5600	40-112	7-20	
Ishido and Mizutani (1981)	Crushed quartz	40	0.24-3.9	6-98	$\text{KNO}_3 10^{-3} \text{ N}$, $T=45^\circ\text{C}$, $\text{pH}=3.2-10.8$
Ishido and Mizutani (1981)	Crushed quartz	40	0.24-3.9	50-75	$\text{KNO}_3 10^{-3} \text{ N}$, $T=300-700^\circ\text{C}$, $\text{pH}=6.1$
Jouniaux and Pozzi (1995)	Fontainebleau sandstone	1000	0.1-66.4	0.1-66.4	
Morgan (1989)	Crushed Westerly granite	8.5	0.19-0.23	22-27	NaCl , $\text{pH}=5.5$
Morgan (1989)	Crushed K-feldspar	28	1.0	36	NaCl , $\text{pH}=5.5$
Ogilvy, et al., (1968)	Clean quartz sand	55	4.7-8.3	85-150	
Schuch and Wanke (1967)	Fine/middle grained sand	11	10-21	900-1900	
Schuch and Wanke (1967)	Clayey fine/middle grained sand	11	100	9000	
Sprunt, et al., (1994)	Clean limestone	0.56	0.009-0.013	16-23	NaCl
Sprunt, et al., (1994)	Clean sandstone	0.56	0.012	21	NaCl
Tuman (1963a)	Sandstone	500	1.8-4.3	3.6-8.6	

จากการประเมินวิธีอสพที่ได้ก่อสร้างถึง จะเห็นได้ว่าสามารถประยุกต์ใช้ได้หลายด้าน โดยเฉพาะกรณีการประยุกต์ใช้สำรวจเพื่อกำหนดขอบเขตแหล่งปันเปื้อน ที่กำลังเป็นปัญหาสำคัญของสังคมในปัจจุบัน สาเหตุที่มีความพยายามนำเครื่องมือวิธีอสพมาใช้ก็ เพราะไม่ต้องป้อนผลงงานลงไปในดิน เครื่องมือมีหลักการที่ง่ายและมีราคาถูก แต่จะประเมินนี้มีข้อด้อย ตรงที่ต้องใช้เวลาในการวัดและการเคลื่อนย้ายจุดวัดนาน และถ้าเป็นการวัดแบบผ้าติดตามหรือวัดช้ำที่จุดเดิมก็จะต้องใช้เวลาเพิ่มขึ้นเป็นสองเท่า นอกจากนี้ยังพบว่าถ้าหากต้องการใช้เวลาในการสำรวจให้น้อยที่สุดจะต้องใช้คนในการสำรวจอย่างน้อย 4 คน (ขาดหลุ่ม 1 คน ปักเข้าไฟฟ้า 2 คน ควบคุมเครื่องมือวัด 1 คน) จึงนับว่าเป็นข้อด้วยสำหรับเครื่องมือวิธีอสพเป็นอย่างมาก ดังนั้นถ้ามีระบบช่วยในการเคลื่อนย้ายเข้าไฟฟ้า วัดค่า และบันทึกค่าแบบอัตโนมัติจะทำให้การเก็บข้อมูลภาคสนามใช้เวลาอีกอย่าง และในการทำงานสามารถใช้คนเพียงคนเดียวได้

1.8 วัตถุประสงค์

ออกแบบและสร้างระบบผ้าติดตามศักย์ไฟฟ้าในดินแบบหลายช่องสัญญาณ (อย่างน้อย 32 ช่อง) สำหรับใช้ในการผ้าติดตามการเปลี่ยนแปลงของอสพที่มาจากการผิดปกติของโครงสร้างได้พื้นดินแล้วมีศักย์ไฟฟ้าเกิดขึ้น และใช้สำรวจหารอยร้าวของแหล่งกักเก็บของเหลวที่มีฐานอยู่บนพื้นดิน